

НАБЛЮДЕНИЕ КОГЕРЕНТНОГО ОБРАЗОВАНИЯ a_1^- -МЕЗОНА В АНТИНЕЙТРИННЫХ ВЗАИМОДЕЙСТВИЯХ ЗАРЯЖЕННОГО ТОКА НА НЕОНЕ

В.В.Аммосов, А.А.Бельков, В.С.Буртовой, В.А.Гапиенко,

Г.С.Гапиенко, А.Г.Денисов, В.Г.Заец, В.И.Клюхин,

В.И.Корешев, П.В.Питухин, В.И.Сиротенко, З.У.Усубов

А.Э.Асрятян¹⁾, П.А.Горичев¹⁾, С.П.Кручинин¹⁾, М.А.Кубанцев¹⁾,

И.В.Махлюева¹⁾, А.В.Федотов¹⁾, В.И.Шекелян¹⁾

В антинейтринных взаимодействиях на ядрах неона выделен процесс когерентного образования одиночных d_1^- -мезонов. Проведено сравнение полученных экспериментальных данных с теоретическим предсказанием.

В настоящей работе исследуется когерентное образование a_1^- -мезонов на ядрах неона в антинейтринных взаимодействиях заряженного тока, полученных на 15-футовой пузырьковой камере ФНАЛ. В работах ^{1–6} уже изучалось когерентное нейтриноизлучение одиночных пионов на различных ядрах с целью проверки гипотезы частичного сохранения аксиально-векторного тока (ЧСАТ). Нейтринообразование одиночных a_1^- -мезонов не чувствительно к предсказаниям ЧСАТ, поскольку область малых Q^2 ($Q^2 = -(k_\nu - k_\mu)^2$, k_ν, k_μ – 4-импульсы антинейтрино и мюона), определяемая соотношением Адлера, дает ничтожный вклад в полное сечение. Интерес к этому процессу связан с возможностью изучения взаимодействия a_1^- -мезона с нуклонами ⁷. Реакция $\tilde{\nu}_\mu \text{Ne} \rightarrow \mu^+ \text{Ne} a_1^-$ полностью определяется вкладом аксиально-векторного тока и ее сечение можно выразить через сечение упругого рассеяния a_1^- -мезонов на нуклоне. Известно, что в процессах дифракционного образования a_1^- -мезонов при взаимодействии пионов с ядрами получение аналогичной информации оказалось невозможным из-за необходимости модельного учета больших неупругих вкладов ⁸. В нейтринном же взаимодействии вклад неупругих поправок пренебрежимо мал и это обстоятельство делает когерентные взаимодействия нейтрино с ядром уникальным источником экспериментальной информации об a_1^- -взаимодействии.

Как следует из работы ⁷, когерентные события типа $\tilde{\nu}_\mu \text{Ne} \rightarrow \mu^+ \text{Ne} a_1^-$, так же как и события $\tilde{\nu}_\mu \text{Ne} \rightarrow \mu^+ \text{Ne} \pi^-$, должны доминировать в области малых значений величин: $p_L^2 < 0,06 \text{ ГэВ}^2$ и $p_T^2 < 0,1 \text{ ГэВ}^2$, где p_L – проекция 3-импульса ядра неона, приобретенного им после взаимодействия, на направление переданного от лептонной вершины 3-импульса $q = k_\nu - k_\mu$ (k_ν, k_μ – 3-импульсы антинейтрино и мюона), а p_T – проекция импульса ядра на плоскость, перпендикулярную вектору q . Распределения по p_T^2 для событий по когерентному и некогерентному нейтриноизлучению a_1^- -мезонов имеют вид убывающей экспоненты со значительно различающимися параметрами наклона. Поэтому в настоящем эксперименте число взаимодействий по когерентному образованию a_1^- -мезонов определялось из распределения по p_T^2 .

15-футовая пузырьковая камера ФНАЛ была заполнена тяжелой неон-водородной смесью (64% атомов неона) и экспонировалась в "широком" пучке мюонных антинейтрино. Для выделения когерентных взаимодействий типа $\tilde{\nu}_\mu \text{Ne} \rightarrow \mu^+ \text{Ne} a_1^-$ анализировалось 8000 антинейтринных событий заряженного тока в области энергий антинейтрино 10 – 200 ГэВ и импульсов мюона $> 4 \text{ ГэВ}$. Более подробное описание эксперимента можно найти в работе ⁹. Поиск когерентных a_1^- -мезонов проводился по распадам $a_1^- \rightarrow \rho^0 \pi^-$ и $\rho^0 \rightarrow \pi^+ \pi^-$. Поэтому для дальнейшего анализа было отобрано 80 событий только с $\mu^+ \pi^+ \pi^- \pi^-$ в конечном сос-

¹⁾ Институт теоретической и экспериментальной физики

тоянии. Взаимодействия, в которых импульс пиона был измерен с относительной ошибкой больше 30%, из анализа исключались, а их потеря учитывалась с помощью метода, описанного в работе ¹⁰. Для отобранных событий средний поправочный множитель, включающий в себя также и эффективность регистрации, составил 1,43.

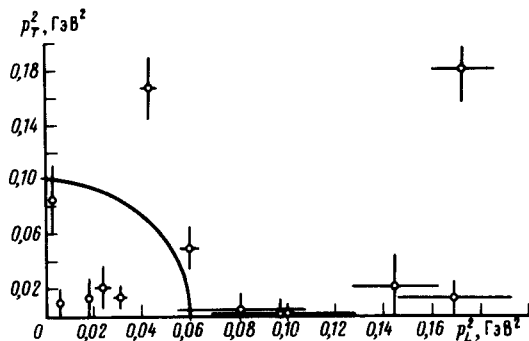


Рис. 1

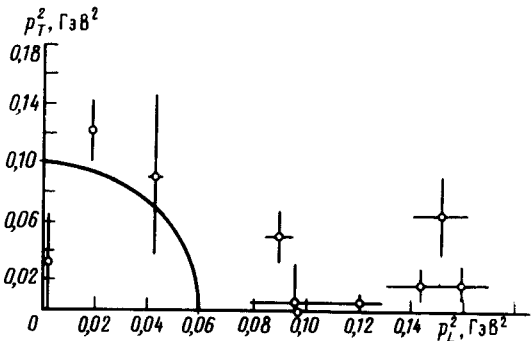


Рис. 2

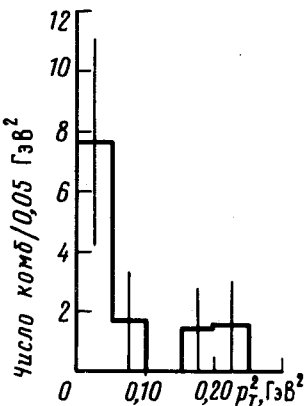


Рис. 3

Рис. 1. Распределение четырехлучевых событий из интервала эффективных масс трех пионов $1,0 < M(\pi^+ \pi^- \pi^-) < 1,2 \text{ ГэВ}$ в плоскости (p_L^2, p_T^2) .

Рис. 2. Распределение четырехлучевых событий из интервала эффективных масс трех пионов $1,2 < M(\pi^+ \pi^- \pi^-) < 1,6 \text{ ГэВ}$ в плоскости (p_L^2, p_T^2) .

Рис. 3. Распределение четырехлучевых событий по p_T^2 из интервала эффективных масс трех пионов $1,0 < M(\pi^+ \pi^- \pi^-) < 1,2 \text{ ГэВ}$ при $p_L^2 < 0,06 \text{ ГэВ}^2$.

На рис. 1 показано двумерное распределение по (p_L^2, p_T^2) для четырехлучевых событий из интервала эффективных масс трех пионов $1,0 < M(\pi^+ \pi^- \pi^-) < 1,2 \text{ ГэВ}$, лежащего в области массы α_1 -мезона. Величины p_L^2 и p_T^2 вычислялись с помощью 0 – C-фита с использованием экспериментальных значений импульсов мюона и пионов в предположении, что масса частицы мишени равна массе ядра неона. Нанесенные ошибки при точках соответствуют ошибкам измерения p_L^2 и p_T^2 . Как видно из рисунка, в области значений p_L^2 и p_T^2 , ограниченной сплошной линией, наблюдается пять событий. В каждом из этих событий есть по меньшей мере одна пара $\pi^+ \pi^-$ -мезонов с эффективной массой, лежащей в области массы ρ^0 -мезона ($0,7 < M(\pi^+ \pi^-) < 0,9 \text{ ГэВ}$). Вероятность неправильного присвоения массы пиона положительно заряженному адронному треку в этих событиях оказалась пренебрежимо малой. Это было проверено путем переопределения массы этого тре-

ка на массу протона и вычисления с помощью $0 - C$ -фита начального импульса нуклона. Полученные значения импульсов во много раз превышают максимально возможный импульс нуклона в ядре.

Для сравнения на рис. 2 показано двумерное распределение по (p_L^2, p_T^2) для четырехлучевых событий из области масс $1,2 < M(\pi^+ \pi^- \pi^-) < 1,6$ ГэВ, лежащей вне массы a_1 -мезона. Ширина этой области в два раза превышает интервал значений $M(\pi^+ \pi^- \pi^-)$ для событий, вошедших в распределение на рис. 1. Как видно из рисунка, в область, ограниченную сплошной линией, попадает только одно событие.

На рис. 3 показано распределение по p_T^2 для четырехлучевых событий, попавших на рис. 1 в интервал $p_L^2 < 0,06$ ГэВ². При значениях $p_T^2 < 0,1$ ГэВ² наблюдается когерентный пик, что согласуется с предсказанием ⁷. Поскольку наклон в распределении по p_T^2 для некогерентного нейтринорождения a_1 -мезонов намного меньше наклона соответствующего распределения когерентных событий, то предполагалось, что фон от образования a_1^- -мезона на нуклоне равномерно распределен в интервале $0,0 < p_T^2 < 0,3$ ГэВ². Кроме того, на событиях этого эксперимента было проверено, что фон от взаимодействий, не приводящих к образованию a_1^- -мезона (включая и реакцию $\bar{\nu}_\mu N \rightarrow \mu^+ \rho^0 \Delta^-$), при значениях $p_T^2 < 0,06$ ГэВ² также равномерно распределен в этом интервале по p_T^2 . Исходя из этого, суммарный фон для когерентного образования a_1^- -мезонов можно оценить по событиям на рис. 3, попавшим в интервал $0,1 < p_T^2 < 0,3$ ГэВ², который составляет $1^{+1,3}_{-0,3}$ событий. Если предположить, что весь наблюдаемый сигнал обусловлен фоном, то вероятность этого случая составит не более 1,7 %. Вычитая полученное значение фона из числа событий в области $p_T^2 < 0,1$ ГэВ² в распределении на рис. 3, получаем поправленное число когерентных событий $N_{a_1} = 8^{+6}_{-4}$. Здесь ошибки получены в предположении, что фон находится в 68 % интервале достоверности.

Сечение когерентного образования a_1^- -мезонов в настоящем эксперименте определялось с использованием сечения и числа взаимодействий антинейтрино на нуклоне в заряженном токе в интервале энергий антинейтрино $10 \div 200$ ГэВ. При средней энергии антинейтрино 23 ГэВ его значение составило $(0,30^{+0,21}_{-0,15}) \cdot 10^{-38}$ см², что согласуется с предсказанием работы ⁷.

В заключение авторы выражают благодарность своим коллегам из ФНАЛ и Мичиганского университета за обработку и анализ части статистики данного эксперимента. Мы хотим также поблагодарить Б.З.Копелиовича за полезные замечания.

Литература

1. Faissner H. et al. Phys. Lett., 1983, **125B**, 230.
2. Isiksal E., Rein D., Morfin J.G. Phys. Rev. Lett., 1984, **52**, 1096.
3. Bergsma F. et al. Preprint CERN/EP 85-37, Geneva, 1985.
4. Marage P. et al. Phys. Lett., 1984, **140B**, 137.
5. Grabosch H.J. et al. Preprint IHEP PHE 85-12, Berlin, 1985.
6. Аммосов В.В. и др. ЯФ, 1987, **45**, 1662.
7. Бельков А.А., Копелиович Б.З. ЯФ, 1987, **46**, 874.
8. Замолодчиков А.Б., Копелиович Б.З., Лапидус Л.И. ЖЭТФ, 1979, **77**, 451.
9. Ammosov V.V. et al. Nucl. Phys., 1982, **B199**, 399.
10. Ammosov V.V. et al. Phys. Lett., 1987, **102B**, 213.